

Área: Engenharia de Alimentos

DESSALINIZAÇÃO POR OSMOSE INVERSA DAS ÁGUAS DO AQUÍFERO GUARANI PARA USO COMO ÁGUA POTÁVEL

Laisa Girardelli*, Vandr e Barbosa Bri o, Jonas Magoga

*Laborat rio de Opera es Unit rias, Curso de Engenharia de Alimentos, Faculdade de Engenharia e
Arquitetura, Universidade de Passo Fundo, Passo Fundo, RS*

**E-mail: 132566@upf.br*

RESUMO – O Brasil assim como outros pa ses tem enfrentado grandes per odos de seca. A poss vel solu o para esta situa o   buscar recursos de tratamento da  gua, a fim de torn -la pot vel. O Aqu fero Guarani   uma grande reserva de  gua subterr nea, mas, no entanto, grande parte de sua extens o apresenta caracter sticas f sico-qu micas da  gua classificadas como salobras. Portanto, este trabalho tem como objetivo dessalinizar a  gua do Aqu fero Guarani para produzir  gua pot vel, atrav s de um equipamento piloto de osmose inversa. A  gua de um po o perfurado mostrou exceder as diretrizes para a  gua pot vel, mas a  gua dessalinizada de osmose reversa em 2 MPa e velocidade de 1,61 ms⁻¹ mostrou rejei es em torno de 94% para sulfato, 97% para teor de s lidos e 100% para o fl or.

Palavras-chave:  gua salobra. Membrana. Osmose inversa.

1 INTRODU O

O Brasil, apesar das grandes reservas de  gua superficial,   um pa s que tamb m sofre com estiagens sazonais. O Estado do Rio Grande do Sul passou em 2012 pelo seu maior per odo de seca dos  ltimos 50 anos. Isto mostra que se necessita de fontes alternativas de abastecimento de  guas para a popula o. Uma das alternativas seria a utiliza o das  guas subterr neas do Aqu fero Guarani.

O Sistema Aqu fero Guarani (SAG)   um agrupamento de unidades hidroestratigr ficas, constituindo uma grande reserva de  gua subterr nea. Est  localizado na regi o centro-leste da Am rica do Sul, como mostra a figura 1. Ocupa uma  rea de 1194000 km², distribuido nos territ rios do Brasil, Argentina, Uruguai e Paraguai (ROSA et al, 2003). No Brasil, a regi o sul   a que possui a maior  rea do Aqu fero Guarani, e a extra o de  guas do mesmo exige po os com profundidades que variam de 200 m at  1000 m, dependendo da localiza o (GASTMANS, 2007).

As dimens es continentais do Aqu fero Guarani mostram o seu potencial como reserva de  gua, mas, no entanto, em grande parte de sua extens o, as  guas do Guarani apresentam caracter sticas f sico-qu micas classificadas como salobras (ROSA et al, 2003). Em algumas regi es do Uruguai e Argentina, as  guas do

Aquífero Guarani possuem concentrações de sólidos totais dissolvidos de 8000 mg.L⁻¹, 1200 mg.L⁻¹ de sulfatos e 3,1 mg.L⁻¹ (PESCE, 2002). É uma grande reserva de água subterrânea, mas há descontinuidade quanto à qualidade físico-química, sendo que em algumas áreas de ocorrência as águas são impróprias para consumo humano.

Segundo Reddy (2005), a dessalinização por osmose inversa é amplamente utilizada para a produção de água potável, tornando-se o principal modo não-convencional de obtenção de águas em vários países. Além disso, se a água natural tem que ser bombeada a longas distâncias, pode tornar-se tão caro como a água dessalinizada, em função das distâncias envolvidas e da quantidade de bombeamento exigida. Portanto a osmose inversa é uma das soluções possíveis para as regiões que sofrem secas.

A osmose inversa (OI) é um processo de remoção de sólidos da água utilizando-se membranas porosas e altas pressões como força motriz, removendo-se os componentes de baixo peso molecular com alta eficiência energética. A OI possui vantagens como: dispensa o uso de produtos químicos, possui grande relação entre área filtrante e espaço físico ocupado, fácil operação, entre outras.

O objetivo do trabalho foi testar duas pressões e duas velocidades tangenciais em um equipamento piloto de osmose inversa para dessalinização da água subterrânea de um poço perfurado no Sistema Aquífero Guarani para adequar esta água os parâmetros físico-químicos para consumo.

2 MATERIAL E MÉTODOS

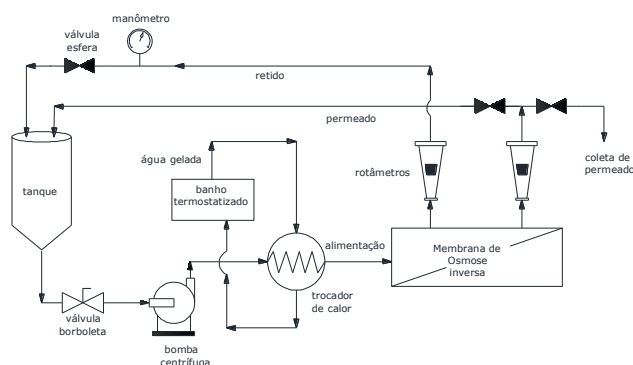
2.1 Amostra

A água de estudo foi obtida de um poço perfurado a 850 m de profundidade alcançando o aquífero guarani nas proximidades do município de Tapejara, na região norte do Rio Grande do Sul. A água foi caracterizada quanto aos parâmetros físico-químicos de potabilidade citados na portaria 2914/2011 do Ministério da Saúde (BRASIL, 2011).

2.2 Procedimento experimental

O experimento foi realizado em um equipamento piloto de filtração tangencial de osmose inversa (Sistemas WGM- São Paulo). A figura 1 mostra o diagrama do equipamento, o qual é construído em aço inoxidável e possui válvulas e conexões sanitárias. A água foi alimentada no tanque, que possui capacidade de 150 L, e foi impulsionada por uma bomba centrífuga multiestágios através da membrana de OI, separando o permeado (água tratada praticamente isenta de sais) e o material retido (fração que contém os sais separados).

Figura 1- Esquema do sistema piloto de osmose inversa



O controle da temperatura foi realizado com o auxílio de um trocador de calor tubular, circulando-se água gelada a 1°C e mantendo-se a temperatura a 24°C±1°C. A válvula esfera na linha de retido e um inversor de frequência associado à bomba permitiram o controle da pressão e vazão de recirculação. O equipamento contém dois rotômetros para leitura das vazões de permeado e retido.

Ao término de cada experimento, foi realizada a limpeza da membrana em três etapas: a) enxágue com 100 L de próprio permeado obtido descartando-se permeado e retido; b) uma limpeza ácida foi realizada com solução de ácido nítrico com pH 2,0; c) novo enxágue com permeado.

2.3 Membranas

A membrana de osmose inversa utilizada foi o modelo 3838 HR-NYV (Koch Membrane Systems). A membrana possui configuração espiral e 7,1 m² de área de filtração, com 9,6 cm (3,8 polegadas) de diâmetro e 96,5 cm de comprimento, sendo seu material de poliamida. A permeabilidade hidráulica da membrana é de 1,9 L.h-1.m-2.bar-1 e sua rejeição a cloretos é 99,3% (medido com 2000 mg L⁻¹ solução de NaCl a 15,5 bar).

2.4 Rejeição da membrana

O coeficiente de rejeição da membrana foi calculado através da relação da concentração de cada componente do permeado e da concentração da água alimentada, como mostrado na equação 1 e avaliado como um número adimensional.

$$R = \left[1 - \frac{C_p}{C_a} \right] \quad \text{Equação (1)}$$

Sendo C_p a concentração no permeado, C_a a concentração na alimentação e R o coeficiente de rejeição.

2.5 Planejamento experimental

Um planejamento experimental de duas variáveis independentes (pressão e velocidade tangencial) em dois níveis (planejamento 2²) possibilitou a combinação dos parâmetros para a otimização do fluxo permeado e rejeição dos sais.

Tabela 1- matriz do planejamento experimental

Experimento	Pressão (MPa)	Velocidade tangencial (m.s ⁻¹)
A	1.0	0.53
B	1.0	1.61
C	2.0	0.53
D	2.0	1.61

As variáveis de resposta do sistema serão eleitas devido à sua concentração em excesso na água, extrapolando os limites citados pela Portaria 2.914/2011 do Ministério da Saúde (BRASIL, 2011).

Utilizaram-se comparações de análise de variância dos resultados com significância de 5%, determinando-se as melhores condições de pressão e velocidade para cada parâmetro analisado no permeado.

3 RESULTADOS E DISCUSSÃO

3.1 Caracterização da amostra

A Tabela abaixo mostra o resultado para as características físico-químicas da água do poço perfurado no Aquífero Guarani.

Tabela 2- Características físico- químicas da água do poço perfurado no Aquífero Guarani.

	Amostra 1	Amostra 2	Amostra 3	Recomendável	Portaria Brasileira
STD (mg.L ⁻¹)	1321	1290	1059	1000	1000
SO ₄ ²⁻ (mg.L ⁻¹)	326.2	314.5	285.4	250	250
F ⁻ (mg.L ⁻¹)	2.14	2.01	1.91	1.5	1.5
Zn (mg.L ⁻¹)	0.03	NP	NP	4	5
Na (mg.L ⁻¹)	159	NP	NP	200	200
Mn (mg.L ⁻¹)	0.1	NP	ND	0.1	0.1
Total Fe (mg.L ⁻¹)	0.09	NP	NP	0.3	0.3
Total Cr (mg.L ⁻¹)	ND	NP	NP	0.05	0.05
Cu (mg.L ⁻¹)	ND	NP	NP	2	20
Pb (mg.L ⁻¹)	ND	NP	NP	-	0.01
Cd (µg.L ⁻¹)	ND	NP	NP	3	5
Al (mg.L ⁻¹)	ND	NP	NP	0.1	0.2
NH ₄ ⁺ (mg.L ⁻¹)	ND	NP	NP	1.5	1.5
NO ₂ ⁻ (mg.L ⁻¹)	ND	NP	NP	3	1

NO ₃ ⁻ (mg.L ⁻¹)	0.65	NP	NP	50	10
Dureza (mg.L ⁻¹)	32	NP	NP	500	500
Cl ⁻ (mg.L ⁻¹)	85	NP	NP	250	250
CO ₃ ²⁻ (mg.L ⁻¹)	2.8	NP	NP	-	-
pH	8.71	8.82	8.53	6.5 ≤ pH ≤ 8.5	6.0 ≤ pH ≤ 9.5
Cor (Hz)	0	0	0	15	15
Turbidez (NTU)	0	0	0	1.0	1.0
Condutividade elétrica (μS.cm ⁻¹)	1842	1726	1702	-	-

ND: Não detectável pelo método analítico utilizado

NP: análise não realizada

Estudos anteriores de caracterização em diversas regiões do SAG demonstraram que em geral as águas são de boa qualidade, com STD menor que 500 mg.L⁻¹. No entanto, regiões do norte do RS e no oeste de SC, as águas do SAG podem apresentar alta salinidade, excedendo os padrões de potabilidade de água, conforme demonstra a tabela 2.

3.2 Determinação da melhor condição experimental de pressão e velocidade tangencial

A abaixo apresenta o fluxo de permeado e a rejeição da membrana de OI para diversos parâmetros que excediam as normativas de potabilidade de água para consumo humano.

Da Tabela 3, observa-se que a condição experimental com 1 Mpa e 0,53 m.s⁻¹ apresentou o maior valor de sólidos totais (STD), sulfato e condutividade elétrica. Do mesmo modo, nessa condição obteve-se um valor residual de fluoretos, enquanto que a concentração deste parâmetro nas demais condições foi zero. Contudo, objetiva-se a minimização destas concentrações no permeado, e esta condição experimental (p = 1 MPa e v = 0.53 m.s⁻¹) é aquela que deve ser evitada.

Tabela 3- Médias e desvios padrões das variáveis de resposta para cada condição experimental testada.

p (MPa)	V (m.s ⁻¹)	pH	Condutividade (μS/cm)	SO ₄ ²⁻ (mg.L ⁻¹)	STD (mg.L ⁻¹)	F ⁻ (mg.L ⁻¹)	Fluxo (L.m ² .h ⁻¹)
1	0.53	7.36 ^(a)	151.9 ± 14.7 ^(a)	38.0 ± 5.4 ^(a)	111.5 ± 16.3 ^(a)	0.19 ± 0.06 ^(a)	17.02 ± 0.69 ^(a)
1	1.61	7.25 ^(a)	37.0 ± 8.5 ^(b)	27.8 ± 9.8 ^(a,b)	35.0 ± 5.6 ^(b)	0.0 ± 0.0 ^(b)	17.91 ± 0.98 ^(a)
2	0.53	7.08 ^(b)	43.7 ± 10.2 ^(b)	23.4 ± 3.7 ^(a,b)	43.7 ± 26.1 ^(b)	0.0 ± 0.0 ^(b)	34.97 ± 1.03 ^(b)
2	1.61	7.05 ^(b)	34.6 ± 19.2 ^(b)	16.8 ± 4.5 ^(b)	34.5 ± 3.5 ^(b)	0.0 ± 0.0 ^(b)	36.24 ± 2.33 ^(b)

A menor concentração de sulfatos foi observada no permeado (16.8 mg.L⁻¹) quando utilizada a pressão de 2 MPa e velocidade tangencial de 1.61 m.s⁻¹, sendo esta condição operacional selecionada como ótima para separar estes constituintes. Os valores intermediários de 27,8 e 23,4 mg.L⁻¹ demonstraram ser estatisticamente iguais a estes dois extremos de concentração.

Referente ao fluxo foi observado que o mesmo não sofreu efeito significativo da velocidade tangencial, mas no entanto, a pressão demonstrou haver efeito direto nesta variável. Isto encontra-se de acordo com a literatura de Reddy et.al, (2005), a qual apresenta resultados semelhantes aos encontrados, os quais relataram que elevando a velocidade tangencial em sistemas de dessalinização por OR observava-se pequenos (ou insignificantes) incrementos de fluxo.

4 CONCLUSÃO

O processo de separação por osmose inversa reduziu a salinidade da água do aquífero Guarani, ajustando-a referente aos parâmetros de potabilidade.

Das condições experimentais testadas, aquela que aperfeiçoou o processo foi quando utilizados 2 MPa de pressão e 1.61 m.s-1 de velocidade tangencial, por proporcionar um aumento na vazão do permeado e menor concentração de sulfato na água produzida.

5 AGRADECIMENTOS

À FAPERGS pelo financiamento do projeto (Processo 12/3129-6).

6 REFERÊNCIAS

BRASIL. Ministério da Saúde. **Portaria nº2.914**, de 12 de dezembro de 2011. Estabelece os procedimentos e responsabilidades relativos ao controle e vigilância da qualidade de água para consumo humano e seu padrão de potabilidade. Brasília, DF, 2011.

GASTMANS, D. **Hidrogeologia e hidroquímica do Sistema Aquífero Guarani na porção ocidental da bacia sedimentar do Paraná**. Tese de Doutorado. Universidade Estadual Paulista, Instituto de Geociências e Ciências Exatas. Rio Claro, 2007, 194 p.

PESCE, A. Thermal SPA's: Na Economical Development Alternative along both sides of Uruguay River. **Geo Heat Center Bulletin**, v.23, n.3 p.22-28, 2002.

REDDY, A.V.R.; TRIVEDI, J.J.; DEVMURARI, C.V.; MOHAN, D.J. SINGH, P. RAO, A.P. JOSHI, S.V.; GHOSH, P.K. Fouling resistant membranes in desalination and water recovery. **Desalination**, v.183, p.301-306, 2005.

ROSA FILHO, E. F. da; HINDI, E. C.; ROSTIROLLA, S. P.; FERREIRA, F. J. F.; BITTENCOURT, A. V. L. – Sistema Aquífero Guarani – Considerações Preliminares Sobre a Influência do Arco de Ponta Grossa no Fluxo das Águas Subterrâneas. **Revista Águas Subterrâneas** nº17; Curitiba; maio/2003, 91 – 111, 2003.